

## УПРОЩЕНИЕ ТРИАНГУЛЯЦИОННЫХ МОДЕЛЕЙ ПОВЕРХНОСТИ

Н.С. МИРЗА, А.В.СКВОРЦОВ, Р.В.ЧАДНОВ

В настоящее время очень много графических программных систем использует цифровые модели поверхности. Для задач ГИС, САПР, систем трёхмерного моделирования и других графических систем очень актуальной является проблема обработки больших (детализированных) поверхностей, так как для работы с поверхностями, которые могут не помещаться в оперативную память компьютера, требуется мощное аппаратное обеспечение. Поэтому разработано большое число алгоритмов генерализации (упрощения) поверхности, которые позволяют значительно уменьшить детализацию поверхности, вызывая существенное увеличение скорости выполнения задач, связанных с обработкой поверхностей.

### Основные понятия и постановка задачи

В данной статье под термином «поверхность» будем понимать однозначную функцию высот от планового положения точек. Такие поверхности ещё называют *2,5-мерными*, чтобы отличить это понятие от значения общего понятия «3-мерная поверхность», принятого в математике.

Одним из самых распространённых методов представления поверхности является *нерегулярная сеть треугольников (TIN)*, представляющая собой набор треугольников, образующих в проекции на ось  $XU$  *триангуляцию* – планарный граф, все конечные грани которого являются треугольниками [1]. Таким образом, TIN – это триангуляция, каждому узлу которой поставлена в соответствие его высота (координата  $Z$ ).

Определение. Пусть имеется TIN  $T$ , содержащая  $N$  узлов. В задаче построения упрощающей TIN (задаче генерализации) требуется найти такую TIN  $t$ , что [1]:

- она содержит заданное количество узлов  $n = |t| < N$  и имеет минимальное отклонение  $d$  от  $T$ :  $d(T, t) = \min_{\tau} d(T, \tau), |\tau| = n$  (задача, управляемая геометрией);
- она имеет отклонение  $d$  по вертикали от  $T$  не более чем на заданную величину  $n(t) = \min_{\tau} n(\tau)$ , и имеет минимальное количество узлов  $n(t) = \min_{\tau} n(\tau)$ ,  $d(T, \tau) < \varepsilon$  (задача, управляемая ошибкой).

Задача упрощения TIN в обоих вариантах является NP-сложной, поэтому на практике используются приближённые алгоритмы [1], которые применяют некоторый критерий качества упрощённой модели.

Все методы упрощения триангуляционных поверхностей можно разделить на следующие классы в зависимости от критерия оптимальности [2]:

- методы, основанные на локальном критерии оптимальности, то есть методы, в которых точность вычисления связана с каждым элементом поверхности (таким как узел, ребро или треугольник);
- методы, основанные на глобальном критерии оптимальности, т.е. методы, в которых точность вычисления связана исключительно со всей поверхностью;
- методы, основанные на некотором специальном критерии оптимальности;
- экспертные методы, не использующие критерий оптимальности (экспертные методы), то есть методы, полностью основанные на визуальной оценке пользователя.

### **Методы упрощения триангуляционных моделей**

Все существующие методы упрощения TIN основаны на одной из двух стратегий:

1. Стратегия «сверху вниз» начинает работу с максимально упрощённой TIN. Далее постепенно в TIN добавляются некоторые узлы в порядке согласно некоторому критерию до тех пор, пока не будет достигнуто нужное число узлов или величина ошибки будет удовлетворительной [3].

2. Стратегия «снизу вверх» начинает работу с самой детализированной TIN, к которой постепенно применяются некоторые *локальные модификации* – операции, заменяющие одну маленькую группу смежных треугольников на другую, покрывающую ту же область (рис. 1).

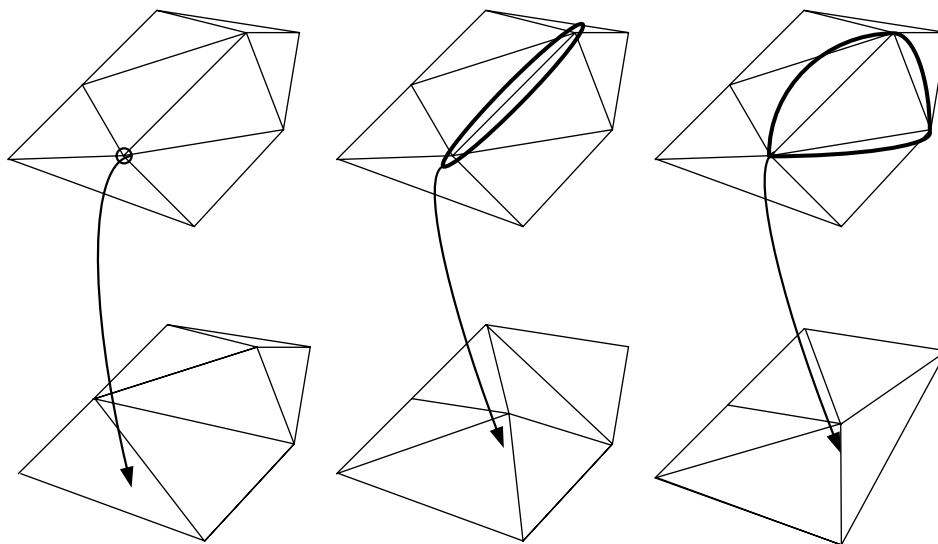


Рис. 1. Локальные модификации: *a* – удаление узла; *b* – коллапс ребра; *c* – коллапс треугольника

Преимуществом стратегии «снизу вверх» является то, что она основана исключительно на операции вставки узла в триангуляцию, которая используется при построении TIN, в отличие от стратегии «сверху вниз», основанной на операции удаления узла, которая достаточно сложна и должна быть реализована в дополнение к обычному алгоритму построения TIN.

Однако стратегия «сверху вниз» позволяет параллельно с упрощением построить так называемую иерархию упрощений, сохраняемую в специальной структуре – *мультитриангуляции* [4], с помощью которой можно получить поверхность переменного разрешения, имеющую важное практическое значение.

Поэтому далее приводится ряд методов, основанных на стратегии «снизу вверх» [8]:

**1. Объединение треугольников, лежащих в одной плоскости.** Идея метода такова: производится поиск треугольников, лежащих в одной плоскости, после чего найденные треугольники удаляются и происходит заполнение образовавшейся дырки.

*a)*

**2. Управляемое удаление узлов, рёбер и треугольников.** Данный метод представляет собой итеративный процесс, на каждом шаге которого применяется некоторая локальная модификация, выбранная согласно критерию минимизации ошибки между исходной и упрощённой поверхностью.

**3. Перестроение поверхности.** Данный метод основан на понятии «кривизна поверхности» [9]. Сначала случайным образом в исходную поверхность вставляется заданное число узлов, которые затем перемещаются в места максимальной кривизны поверхности. После чего производится итеративный процесс удаления узлов.

**4. Оптимизация энергетической функции.** Данный метод основан на итеративном процессе применения локальных модификаций, оптимизирующих *энергетическую функцию* [5], которая характеризует качество упрощённой модели. Узлы, дающие наименьшее приращение энергетической функции, итерационно удаляются.

**5. Кластеризация.** Данный метод основан на построении кластеров из близлежащих узлов (рёбер, треугольников) и последующей замене их на более упрощённые фрагменты.

**6. Иерархическое представление.** Данный метод основан на построении дерева октантов [6] или элементов объёмного изображения (вокселей) [7].

Заметим, что некоторые из описанных алгоритмов упрощения могут применяться как для 2,5-мерных поверхностей, так и для 3-мерных.

Далее приводится сравнение описанных методов упрощения по ряду характеристик [2].

**1. По соотношению исходной и упрощённой модели все методы делятся на следующие классы:**

- методы, сохраняющие топологию (управляемое удаление узлов, рёбер и треугольников; оптимизация энергетической функции) либо не сохраняющие топологию (кластеризация, иерархическое представление);

- методы, основанные на выборе некоторого множества узлов (управляемое удаление узлов, рёбер и треугольников; объединение треугольников, лежащих в одной плоскости) либо на перестроении (оптимизация энергетической функции; перестроение; иерархическое представление).

Как правило, методы, не сохраняющие топологию, работают быстрее, но для решения многих задач сохранение топологии является критически важным.

Заметим, что сохранение топологии актуально только для 3-мерных поверхностей, так как при применении любого из описанных алгоритмов упрощения для 2,5-мерных поверхностей топология сохраняется в любом случае.

Методы, основанные на перестроении, работают несколько точнее, но они применимы не для всех задач.

## **2. По цели упрощения все методы делятся на следующие классы:**

- методы, для которых задана некоторая величина ошибки  $\epsilon$  и необходимо построить модель с минимальным числом узлов;
- методы, для которых задано минимальное число узлов и необходимо минимизировать разницу между исходной и упрощённой моделями.

## **3. По методу вычисления ошибки все методы делятся на следующие классы:**

- методы, основанные на локальном критерии оптимальности (управляемое удаление узлов, рёбер и треугольников), либо методы, основанные на глобальном критерии (перестроение; оптимизация энергетической функции);
- методы, сохраняющие некоторые атрибуты поверхности, такие как цвет, структурные линии и т.п. (управляемое удаление узлов, рёбер и треугольников).

Как правило, на практике чаще всего пользуются наиболее простым способом упрощения – итеративным процессом, который можно разбить на следующие этапы:

Этап 1. Классификация узлов.

Этап 2. Вычисление ошибки, вызванной применением локальных модификаций.

Этап 3. Выбор локальной модификации, вызывающей минимальную ошибку.

Этап 4. Применение локальной модификации с соответствующим локальным перестроением TIN.

Для классификации каждый узел относят к одному из следующих классов [10]:

1. *Простой узел* – узел, окружённый полным замкнутым циклом из треугольников (рис. 2, а).

2. *Граничный узел* – узел, который лежит на границе поверхности, то есть окружен не полным циклом из треугольников (рис. 2, б).

Для определения следующих классов узлов введём термин «*внутренний край*» поверхности.

Определение. Если угол, образованный плоскостями двух смежных треугольников, больше некоторого заданного угла, то считается, что данные треугольники образуют *внутренний край* поверхности.

3. *Узел внутреннего края* – простой узел, используемый в образовании двух внутренних краёв поверхности (рис. 2, в).

4. *Угловой узел* – простой узел, используемый в образовании одного, трёх или более внутренних углов поверхности (рис. 2, г).

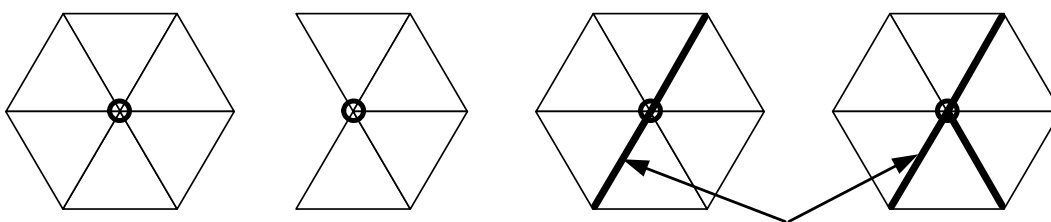


Рис. 2. Классификация узлов TIN: а – простой узел; б – граничный узел; в – узел внутреннего края; г – угловой узел

Узлы третьего и четвертого типа не удаляются, а для удаления узлов второго типа необходимо учитывать неполноту цикла окружающих треугольников.

Для расчёта ошибки, вызванной той или иной локальной модификацией, как правило, используется величина отклонения (в заданной метрике [11, 12]) между исходной и упрощённой поверхностями, которое возникнет, если применить локальное преобразование.

Для реализации любого локального преобразования необходим алгоритм быстрого удаления узла из триангуляции, так как коллапс ребра и треугольника можно свести к операции вставки и удаления узлов из триангуляции.

### **Алгоритм удаления узла из триангуляции**

Далее авторами приводится разработанный алгоритм удаления узла, на котором базируются все локальные модификации триангуляции.

В качестве языка описания алгоритма используется язык программирования Object Pascal.

#### Алгоритм удаления узла из триангуляции

##### Входные данные:

1. Триангуляция, построенная на множестве узлов Nodes.
2. Удаляемый узел DeletedNode.

##### Выходные данные:

Триангуляция, построенная на множестве узлов Nodes - DeletedNode.

##### Структуры данных:

1. В структуре исходной триангуляции должны содержаться связи каждого треугольника со всеми его соседями.

2. Списки узлов:

```
TNodeList = class
public
    // Добавить элемент в список
    procedure Add(Item: TNode);
    // Удалить последний элемент из списка
    procedure DeleteBack;
    // Элементы списка по индексу
    property Items[i: integer]: TNode read GetTriangle; default;
    // Число элементов в списке
    property Count: integer read GetTriangleCount;
    // Последний элемент в списке
    property Back: TNode read GetBack;
    // Первый элемент в списке
    property Front: TNode read GetFront;
end;
```

Класс TNode должен иметь следующую структуру:

```
TNode = class  
    X, Y, Z: double;  
end;
```

Используемые процедуры, функции и переменные:

1. Up: TNodeList – узлы верхней части, заполняемой после удаления DeletedNode дырки, Low: TNodeList – узлы соответствующей нижней части, Join: TNodeList – узлы объединённых Up и Low, отсортированные по координате X.

2. S: TNodeList – стек узлов, используемый для выбора узлов новых треугольников.

3. Current: TNode – текущий узел из стека S, Front: TNode – первый узел из стека S.

4. Список из трёх узлов TriangleNodes: TNodeList, в который сохраняются узлы для образования очередного нового треугольника. Узлы должны быть расположены по часовой стрелке.

5. **function** JoinVertices(List1, List2: TNodeList): TNodeList; Объединяет два входных списка в один, упорядоченный по координате X.

6. **function** Adjacent(v1, v2: TNode): boolean; Определяет смежны ли узлы v1 и v2.

7. **function** SetRightOrder(v1, v2, v3: TNode): TNodeList; Возвращает список из узлов v1, v2, v3 в порядке, соответствующем ходу построения. Если Current принадлежит Up, то порядок верен, иначе следует поменять v2 и v3 местами.

8. **function** ClockwiseOrder(NodeList: TNodeList): boolean; Определяет, по часовой ли стрелке расположены точки в списке.

9. **procedure** AddTriangle(NodeList: TNodeList); Добавляет новый треугольник из точек NodeList в триангуляцию и устанавливает все ссылки, необходимые для поддержания целостности структуры триангуляции. Производится удаление DeletedNode и всех смежных треугольников.

Структура алгоритма:

**Шаг 1.** Формируется список узлов Nodes, смежных с DeletedNode. Затем формируется список треугольников, смежных с удаляемыми треугольниками.



**Шаг 2.** Узлы *Nodes* делятся на две части: *Up* и *Low* такие, что для них справедливо следующее:

1.  $\forall p \in Up \ p.y \geq DeletedNode.Y$
2.  $\forall p \in Low \ p.y < DeletedNode.Y$

**Шаг 3.** Для узлов *Up* производится следующее:

```
i:=0;
while (UP.Count>=3) and (i< UP.Count-2) do
begin
  if ClockwiseOrder(UP[i], UP[i+1], UP[i+2]) then
  begin
    AddTriangle(UP[i], UP[i+1], UP[i+2]);
    if i>0 then i:=i+1;
  end
  else i:=i+1;
end;
```

Аналогичный алгоритм выполняется для *Low*.

Таким образом, будет выполняться следующее:

1.  $\forall p1, p2 \in Up \ p1.x < p2.x$ , где *p1* и *p2* – смежные узлы при обходе узлов *Nodes* по часовой стрелке
2.  $\forall p1, p2 \in Low \ p1.x > p2.x$ , где *p1* и *p2* – смежные узлы при обходе узлов *Nodes* по часовой стрелке

Это означает, что все узлы в *Up* и *Low* будут отсортированы по *X*.

**Шаг 4.** Дальнейшее заполнение дырки производится алгоритмом, описанным в [13].

**Шаг 4.1.** Все узлы *Up* и *Low* объединяются таким образом, чтобы общий список узлов *Join* был отсортирован по *X*.

**Шаг 4.2.** Используя стек узлов *S*, в цикле извлекаются три очередные точки и образуется новый треугольник.

При выполнении данного шага алгоритма возможно возникновение трёх случаев:

Случай 1. Текущий узел смежен с последним узлом в стеке и не смежен с первым узлом в стеке (рис. 3, а).

Случай 2. Текущий узел не смежен с последним узлом в стеке (рис. 3, б).

Случай 3. Образование так называемого «вверного полигона» (рис. 3, в), когда текущий узел смежен с первым и последним узлами стека.

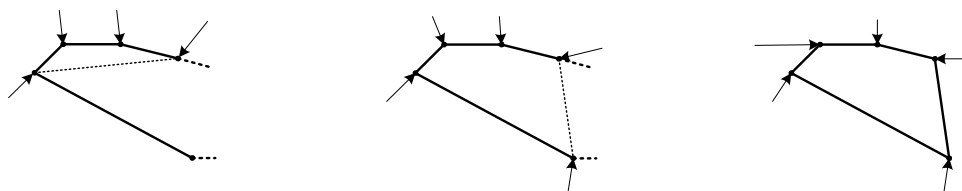


Рис. 3. Различные ситуации в алгоритме удаления узла из триангуляции: а – текущий узел алгоритма удаления узла смежен с последним узлом в стеке и не смежен с первым; б – текущий узел не смежен с последним узлом стека; в – текущий узел смежен как с первым, так и с последним узлом стека.

Далее для удобства описания приводится программный код шага 4.

```

Join:=JoinVertices(Up, Low);
S.Add(Join[0]);
S.Add(Join[1]);
i:=2;
while Join.Count>=3 do
begin
    Current:=Join[i];
    Front:=S.Back;
    // Случай, показанный на рис. 3, а
    if Adjacent(S.Back,Current) and (not Adjacent(S.Front,Current)) then
    begin
        TriangleNodes:=SetRightOrder(S.Back.Previous, Current, S.Back);
        while (S.Count>=2) and ClockwiseOrder(TriangleNodes) do
        begin
            AddTriangle(TriangleNodes);
            S.Pop;
        end;
        S.Add(Current);
    end;
    // Случай, показанный на рис. 3, б
    else if not Adjacent(S.Back, Current)
    begin
        TriangleNodes:=SetRightOrder(S.Back.Previous, Current, S.Back);
    end;
end;

```

```
while (S.Count>=2) and ClockwiseOrder(TriangleNodes) do
begin
  AddTriangle(TriangleNodes);
  S.Pop;
end;
S.Pop;
S.Add(Front);
S.Add(Current);
end;
// Случай, показанный на рис. 3, в
else
begin
  TriangleNodes:=SetRightOrder(S.Back.Previous, Current, S.Back);
  while (S.Count>=2) and ClockwiseOrder(TriangleNodes) do
  begin
    AddTriangle(TriangleNodes);
    S.Pop;
  end;
end;
end;
```

Конец алгоритма.

Данный алгоритм имеет трудоёмкость  $O(N)$  в худшем, где  $N$  – число узлов в триангуляции. Трудоёмкость складывается из следующих составляющих. Трудоёмкость выполнения шага 1 зависит от метода поиска треугольника триангуляции по заданному узлу. В наихудшем случае трудоёмкость поиска может составить  $O(N)$ , но если воспользоваться алгоритмом с кэшированием поиска треугольников, то трудоёмкость поиска смежных узлов и треугольников будет составлять  $O(1)$  в среднем. Трудоёмкость разделения узлов на списки  $Up$  и  $Low$  равна  $O(k)$ , где  $k$  – число узлов в  $NodesList$ , т.е. число узлов в дырке, образовавшейся после удаления  $DeletedNode$ . Трудоёмкость алгоритма устранения «заломов» шага 3 равна  $O(k)$ . Алгоритм слияния узлов списков  $Up$  и  $Low$  работает с трудоёмкостью  $O(k)$ . И, наконец, трудоёмкость алгоритма заполнения оставшейся дырки шага 4 тоже равна  $O(k)$ .

### Заключение

Разработанный авторами эффективный алгоритм удаления узла позволяет достаточно быстро строить упрощённые модели поверхностей с помощью локальных модификаций триангуляции. Преимуществом предложенного алгоритма удаления узла из триангуляции перед остальными аналогичными алгоритмами является линейная (относительно числа узлов дырки) трудоёмкость заполнения дырки, образовавшейся в триангуляции после удаления узла.

### ЛИТЕРАТУРА

1. Скворцов А.В. Триангуляция Делоне и её применение. – Томск: Изд-во Том. ун-та, 2002. – 128 с.
2. Cignoni P., Montani C., Scopigno R. A Comparison of mesh simplification algorithms // *Computer & Graphics*. – 1998. – Vol. 22, № 1. – P. 37–54.
3. Heckbert P., Garland M. Survey of polygonal surface simplification // *SISGRAPH*. – 1997. – Course 25.
4. Puppo E. Variable resolution triangulations // *Computational Geometry*. – 1998. – Vol. 11. – P. 219–238.
5. Hoppe H., De Rose T., Duchamp T., McDonald J. Stuetzle W. Mesh Optimization // *Computer Graphics Proceedings*. – 1993. – P. 19–26.
6. Eck M., De Rose T., Duchamp T., Hoppe M., Lounsbery M., Stuetzle W. Multiresolutional analysis of arbitrary meshes // *Computer Graphics Proceedings*. – 1995. – P. 173–181.
7. Certain A., Popovich J., De Rose T., Duchamp T., Salesin D., Stuetzle W. Interactive multiresolutional surface viewing // *Computer Graphics Proceedings*. – 1996. – P. 91–98.
8. Puppo E., Scopigno R. Simplification, LOD and multiresolutional principles and applications // *EUROGRAPHICS'97*. – 1997. – Vol. 16, № 3.
9. Turk G. Re-tiling polygonal surfaces // *Computer Graphics Proceedings*. – 1992. – P. 55–64.
10. Schroeder W., Zarge J., Lorensen W. Decimation of triangle meshes // *Computer Graphics*. – 1992. – Vol. 26. – P. 65–70.
11. Garland M., Heckbert P. Surface simplification using quadric error metrics // *Computer Graphics Proceedings*. – 1997.
12. Klein R., Liebich G., Straber W. Mesh reduction with error control // *Visualization Proceedings*. – 1996. – P. 311–318.
13. Препарата Ф., Шеймос М. Вычислительная геометрия: Введение / Пер. с англ. – М.: Мир, 1989. – 478 с.